

10. Ivchenko E L, Tarasenko S A *Semicond. Sci. Technol.* **23** 114007 (2008)
11. Zhou B, Shen S-Q *Phys. Rev. B* **75** 045339 (2007)
12. Hu K G *Solid State Commun.* **148** 283 (2008)
13. Tarasenko S A *Phys. Rev. B* **72** 113302 (2005)
14. Лянда-Геллер Ю Б, Пикус Г Е *ФТТ* **31** (12) 77 (1989) [Lyanda-Geller Yu B, Pikus G E *Sov. Phys. Solid State* **31** 2068 (1989)]
15. Zhao H et al. *Phys. Rev. B* **72** 201302(R) (2005)
16. Ивченко Е Л УФН **172** 1461 (2002) [Ivchenko E L *Phys. Usp.* **45** 1299 (2002)]
17. Golub L E *Phys. Rev. B* **67** 235320 (2003)
18. Khurjin J B *Phys. Rev. B* **73** 033317 (2006)
19. Bel'kov V V et al. *Solid State Commun.* **128** 283 (2003)
20. Bieler M et al. *Appl. Phys. Lett.* **86** 061102 (2005)
21. Yang C L et al. *Phys. Rev. Lett.* **96** 186605 (2006)
22. Averkiev N S, Golub L E, Willander M *J. Phys. Condens. Matter* **14** R271 (2002)
23. Ивченко Е Л, Тарасенко С А ЖЭТФ **126** 426 (2004) [Ivchenko E L, Tarasenko S A *JETP* **99** 379 (2004)]
24. Ganichev S D et al. *Nature Phys.* **2** 609 (2006)
25. Ganichev S D et al. *Phys. Rev. Lett.* **102** 156602 (2009)

PACS numbers: 75.76.+j, 76.30.-v, 85.75.-d  
DOI: 10.3367/UFNr.0180.201007j.0777

## Анизотропия спиновой релаксации в двумерных полупроводниках

Н.С. Аверкиев

### 1. Введение

Основной задачей новой области электроники — спинtronики — является создание приборов, в которых для хранения, записи и считывания информации используются спиновые степени свободы. Современная электроника ориентирована на использование двумерных полупроводниковых структур с высокой подвижностью носителей заряда, поэтому существует фундаментальная задача изучения процессов спиновой динамики именно в низкоразмерныхnanoструктурах. Основным отличием двумерных структур от объёмных полупроводников является анизотропия физических свойств, обусловленная ограничением движения носителей заряда вдоль одного из кристаллографических направлений. С этим связаны и особенности спиновой динамики, хотя спин может быть ориентирован по всем трём направлениям даже в двумерных системах. Спиновая релаксация представляет собой процесс исчезновения среднего по ансамблю спина носителей заряда. Действительно, спин-орбитальное взаимодействие в каждом микроскопическом акте рассеяния приводит к тому, что знак проекции спина электрона на выделенную ось может поменяться на противоположный. Полное значение квадрата спинового момента при этом не изменяется. Процесс потери среднего спина при взаимодействии электронов, например, с примесями может быть описан в рамках следующих кинетических уравнений:

$$\dot{n}_\uparrow = -Wn_\uparrow + Wn_\downarrow, \quad \dot{n}_\downarrow = -Wn_\downarrow + Wn_\uparrow, \quad (1)$$

где  $n_\uparrow$  и  $n_\downarrow$  — число электронов со спинами вверх и вниз,  $W$  описывает темп переходов с переворотом спинов. Из уравнения (1) следует, что  $\dot{n}_\uparrow + \dot{n}_\downarrow = 0$ , а для полного спина  $S = (n_\uparrow - n_\downarrow)/2$  получаем

$$\dot{S} = -\frac{S}{\tau_s}, \quad \tau_s^{-1} = 2W, \quad (2)$$

где  $\tau_s$  — время спиновой релаксации. Уравнение (2) описывает исчезновение среднего спина вследствие переворота спина в каждом акте рассеяния. Величина  $W$  может быть обусловлена спин-орбитальным взаимодействием (механизм спиновой релаксации Элиотта — Яфета) или контактным магнитным взаимодействием электрона или дырки с магнитными ионами. Однако в полупроводниках при не слишком низких температурах наиболее существенным оказывается кинетический механизм спиновой релаксации, предложенный Дьяконовым и Переем [1]. В рамках этого механизма исчезновение среднего спина происходит не в момент рассеяния, а между моментами столкновений, вследствие прецессии спина электрона в эффективном магнитном поле, обусловленном спин-орбитальным взаимодействием. Действительно, в магнитном поле спин прецессирует вокруг вектора поля так, что сохраняется только проекция спина на направление поля, а средние значения поперечных составляющих спина теряются. Однако если это эффективное поле изменяется по направлению, то в результате будет происходить релаксация всех компонент спина. Этот процесс можно описать следующим уравнением:

$$\dot{\mathbf{S}} + \mathbf{S} \times \boldsymbol{\Omega} = \frac{\langle \mathbf{S} \rangle - \mathbf{S}}{\tau}, \quad (3)$$

где  $\boldsymbol{\Omega}(\mathbf{k})$  — частота прецессии спина в эффективном магнитном поле,  $\mathbf{S}(\mathbf{k})$  — спиновая плотность ансамбля электронов,  $\langle \mathbf{S} \rangle$  — усреднённое по углам вектора  $\mathbf{k}$  значение  $\mathbf{S}$ ,  $\tau$  — время изотропизации по углам вектора  $\mathbf{k}$  функции распределения электронов. При выводе (3) предполагалось, что время энергетической релаксации много больше  $\tau$  и, таким образом,  $\mathbf{S}(\mathbf{k})$  представляет собой спиновую плотность при фиксированной энергии. Кроме того, в (3) считается, что время жизни электронов много больше времени спиновой релаксации  $\tau_s$ . Обычно время  $\tau$  оказывается порядка времени релаксации импульса и  $\Omega\tau \ll 1$ , причём  $\langle \boldsymbol{\Omega} \rangle \equiv 0$ . При этом угол поворота между столкновениями оказывается малым, так что релаксация спина будет происходить за счёт диффузии частиц. Как видно из уравнения (3), зависящие от углов  $\mathbf{k}$  компоненты  $\mathbf{S}$  релаксируют за время  $\tau$ , а средний спин релаксирует за более длительное время, причём в силу неравенства  $\Omega\tau \ll 1$  время спиновой релаксации должно быть относительно большим,  $\tau_s \gg \tau$ . Можно показать, что уравнение для среднего спина  $\langle \mathbf{S} \rangle$  принимает вид [1, 2]

$$\langle \dot{S}_i \rangle = -\tau \left[ \langle \boldsymbol{\Omega}^2 \rangle \langle S_i \rangle - \sum_j \langle \Omega_i \Omega_j \rangle \langle S_j \rangle \right]. \quad (4)$$

Уравнение (4) получено при предположении, что  $\tau$  не зависит от энергии, и из него следует, что  $\tau_s^{-1} \sim \Omega^2 \tau$ , т.е. чем больше  $\tau$ , тем эффективнее релаксация. Это означает, что в образцах с высокой подвижностью, где  $\tau$  велико, спиновая релаксация может быть эффективна даже при слабом спин-орбитальном взаимодействии.

В разделах 2–4 будет продемонстрировано, как в двумерных полупроводниковых структурах происходит

релаксация спина в рамках кинетического механизма Дьяконова – Переля.

## 2. Анизотропия спиновой релаксации в асимметричных квантовых ямах

В двумерных структурах зависимость частоты прецессии  $\Omega(\mathbf{k})$  определяется двумя факторами. Во-первых, из-за асимметрии самой ямы возникает эффект Рашбы [3], приводящий к следующей зависимости  $\Omega(\mathbf{k})$ :

$$\Omega = \alpha(k_y, -k_x), \quad (5)$$

где  $\alpha$  — коэффициент. Во-вторых, для полупроводниковых структур, выращенных на основе соединений  $A_3B_5$  даже в симметричных ямах, выращенных вдоль оси (001), возникает вклад в  $\Omega(\mathbf{k})$ , называемый вкладом Дрессельхауза [2, 4]:

$$\Omega = \beta(k_x, -k_y), \quad (6)$$

где  $\beta$  — отличный от  $\alpha$  параметр. Подстановка (5) и (6) в выражение (4) позволяет получить времена релаксации спина. Для асимметричных квантовых ям, выращенных вдоль оси (001), расчёты времён релаксации для ориентации спина вдоль оси (001) —  $\tau_z$ , вдоль (1̄10) —  $\tau_+$ , вдоль (110) —  $\tau_-$  дают:

$$\begin{aligned} \tau_z^{-1} &= C(\alpha^2 + \beta^2), \quad \tau_+^{-1} = \frac{1}{2} C(\alpha + \beta)^2, \\ \tau_-^{-1} &= \frac{1}{2} C(\alpha - \beta)^2, \quad C = \tau k^2. \end{aligned} \quad (7)$$

Важным обстоятельством является то, что параметр  $\alpha$  определяется формой квантовой ямы и может изменяться приложении электрического поля. Кроме того, из (7) видно, что при  $\alpha = \pm\beta$  одно из времён может быть бесконечно большим, что означает отсутствие спиновой релаксации для спинов, ориентированных в плоскости квантовой ямы вдоль направления (110) или (1̄10). На возможность такой анизотропии было указано в работе [5], а впервые её наблюдали в работе [6] по зависимости эффекта Ханле от ориентации магнитного поля в плоскости квантовой ямы. Наиболее ярко этот эффект продемонстрирован в [7], где изучалась спиновая релаксация электронов в двойных квантовых ямах, в которых соотношение  $\alpha/\beta$  управлялось внешним электрическим полем (рис. 1). Из рисунка видно, что при  $V \approx 1,2$  В и  $\alpha = 0$  времена  $\tau_+$  и  $\tau_-$  совпадают, а при  $V \approx 0,7$  В и  $\alpha = \beta$  времена различаются в несколько раз. Кроме того, из результатов, представленных на рис. 1, следует, что время жизни  $\tau_0$  в несколько раз превосходит времена спиновой релаксации  $\tau_+$  и  $\tau_-$ , поэтому полное время исчезновения спина  $T_s$ , равное  $\tau_0\tau_s/(\tau_0 + \tau_s)$ , практически совпадает с  $\tau_s$ .

Другим, более очевидным, анизотропным эффектом является зависимость времени релаксации от ориентации спина относительно оси роста: скорость релаксации спина, ориентированного вдоль оси роста, в два раза больше скорости релаксации спина, лежащего в плоскости квантовой ямы. Причина этого эффекта заключается в том, что если спин ориентирован вдоль оси роста ( $z$ ), то на него, согласно (5) и (6), действует эффективное поле, направленное вдоль осей  $x$  и  $y$ . Если же спин лежит в плоскости ямы (например, вдоль оси  $x$ ), то на его

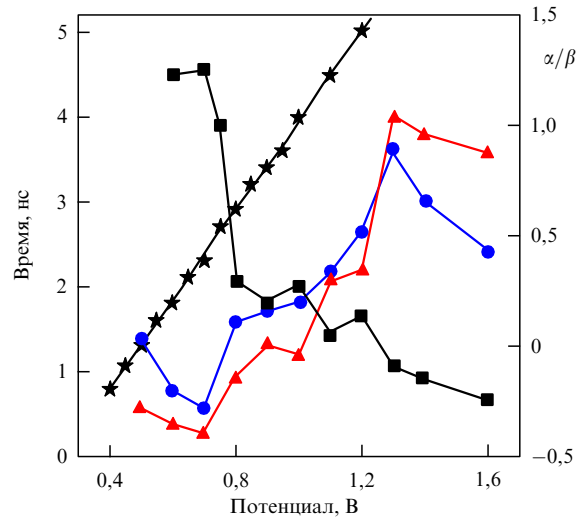


Рис. 1. Анизотропия релаксации спина в плоскости квантовой ямы в зависимости от внешнего электрического поля:  $\blacktriangle$  —  $\tau_{zz}$ ,  $\bullet$  —  $\tau_-$ ,  $\blacksquare$  —  $\tau_0$ ,  $\star$  — излучательное время жизни электронов  $\tau_z$ .

релаксацию влияет только эффективное магнитное поле, направленное вдоль оси  $y$ . Это приводит к увеличению времён спиновой релаксации  $\tau_+$  и  $\tau_-$ . Отметим, что различие времён релаксации ровно в два раза реализуется только при  $\alpha = 0$  или  $\beta = 0$ .

Анизотропия скорости релаксации в двумерных системах возникает и в случае механизма спиновой релаксации Элиотта – Яфета. Можно показать, что в двумерных структурах спин-зависимое рассеяние описывается выражением [8]

$$V'_{kk'} = V_0(\mathbf{k} - \mathbf{k}') [\boldsymbol{\sigma} \times (\mathbf{k} + \mathbf{k}')]_z, \quad (8)$$

где  $\mathbf{k}$  и  $\mathbf{k}'$  — начальный и конечный квазимпульсы электрона в плоскости квантовой ямы,  $z$  — ось роста,  $V_0(\mathbf{k} - \mathbf{k}')$  — фурье-образ рассеивающего потенциала,  $\boldsymbol{\sigma} = (\sigma_x, \sigma_y, \sigma_z)$ ,  $\sigma_i$  — матрицы Паули. Особенностью выражения (8) является линейная зависимость  $V'$  только от поперечных компонент векторов  $k_x$  и  $k_y$  или  $k'_x$  и  $k'_y$ . В результате эффективное поле, приводящее к релаксации спина, ориентированного по оси  $z$ , может быть ориентировано вдоль осей  $x$  и  $y$ , а для спина, параллельного оси  $x$ , — только вдоль оси  $y$ . Это и приводит к различию в два раза соответствующих времён. Расчёт с использованием "золотого правила" приводит к выражениям [8]:

$$\frac{1}{\tau_{zz}} = \frac{2}{\tau_{xx}} = \frac{2}{\tau_{yy}}, \quad \frac{1}{\tau_{zz}} = \frac{1}{\tau_p} \frac{\Delta}{E_g} \frac{k_B T}{E_g}, \quad (9)$$

где  $\Delta$  — величина спин-орбитального расщепления в валентной зоне,  $E_g$  — ширина запрещённой зоны,  $\tau_p$  — время релаксации импульса, обратно пропорциональное  $|V_0|^2$ ,  $T$  — температура,  $k_B$  — постоянная Больцмана. В объёмном кубическом кристалле все времена одинаковы и пропорциональны  $(k_B T/E_g)^2$ .

## 3. Спиновая релаксация в вырожденных полупроводниковых структурах

Как следует из (7), в рамках кинетического механизма время релаксации спина  $\tau_s$  обратно пропорционально времени изотропизации функции распределения  $\tau$ , кото-

рое, в свою очередь, пропорционально времени релаксации импульса. Это означает, что в сильнолегированных объёмных кристаллах кинетический механизм будет подавлен из-за малой величины времени импульсной релаксации  $\tau_p$ . В двумерных системах примеси могут быть пространственно отделены от электронов, тогда и в сильнолегированных структурах  $\tau_p$  оказывается большим, так что  $\Omega\tau_p \sim 1$ . В этом случае возникает вопрос о роли электрон-электронных столкновений в процессе спиновой релаксации. Особенность ситуации состоит ещё и в том, что на время релаксации импульса межэлектронные взаимодействия не влияют, поскольку при таких взаимодействиях общий импульс электронной системы не изменяется.

В работе [9] впервые было показано, что если в уравнении (2) для  $S(\mathbf{k})$  в интегrale столкновений учесть только электрон-электронные столкновения, то спиновая релаксация в режиме механизма Дьяконова – Переля будет иметь место. Микроскопической причиной релаксации по-прежнему является прецессия спина в эффективном магнитном поле  $\Omega(\mathbf{k})$ , а взаимодействие частиц приводит к изотропизации функции распределения, так что время изотропизации функции распределения  $\tau$  оказывается равным  $\tau_p\tau_{ee}/(\tau_p + \tau_{ee})$ , где  $\tau_{ee}$  — время изотропизации за счёт электрон-электронных столкновений.

Важной особенностью механизма Дьяконова – Переля при частых электрон-электронных взаимодействиях является резкая температурная зависимость  $\tau_s$ , обусловленная тем, что в вырожденном электронном газе время изотропизации функции распределения  $\tau \sim 1/T^2$ . Совместные экспериментальные и теоретические исследования (рис. 2) показали, что такая релаксация спинов действительно имеет место. При высоких температурах,  $T \sim T_F$ , результаты расчётов с учётом электрон-электронных столкновений демонстрируют хорошее согласие с экспериментальными данными. Теоретическая кривая (пунктирная линия) построена по формулам, аналогичным (7), при  $\beta = 0$ , при условии, что время  $\tau_p$  оценено из температурной зависимости подвижности. При низких температурах,  $T \sim 5$  К, электрон-электрон-

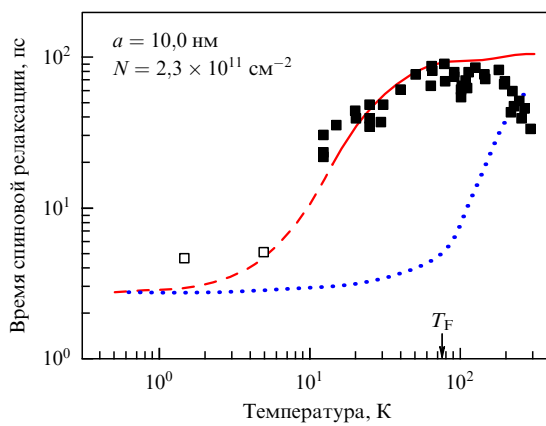
ные столкновения подавлены и результат расчёта (пунктирная кривая) демонстрирует согласие с экспериментальными данными (полые квадраты). В разделе 2 было показано, что анизотропия процессов спиновой релаксации обусловлена зависимостью эффективного магнитного поля от импульса электронов, а не процессами изотропизации функции распределения. Это означает [10], что и в случае эффективного электрон-электронного взаимодействия, когда  $\Omega(\mathbf{k})$  обусловлено одновременно эффектами Рашибы и Дрессельхауза, возникнет зависимость скорости спиновой релаксации от ориентации спина в плоскости квантовой ямы.

#### 4. Анизотропия спиновой релаксации в структурах, выращенных вдоль оси (110)

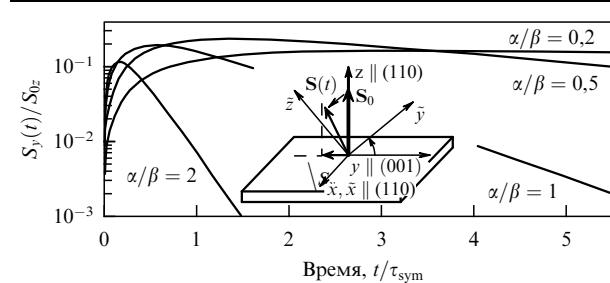
Как видно из уравнения (4), в общем виде релаксация спина описывается тензором второго ранга, связывающим скорость изменения среднего спина с самой величиной спина. В кубическом кристалле такой тензор сводится к скаляру, но в низкосимметричных двумерных структурах тензор обратных времён релаксации характеризуется тремя независимыми параметрами. Главные оси тензора времён спиновой релаксации могут не совпадать с естественными геометрическими осями образца. Как было впервые указано в [12], такой случай реализуется в асимметричных ямах, выращенных вдоль оси (110). В структурах с такой кристаллической ориентацией релаксация спина, ориентированного в начальный момент вдоль оси роста, будет приводить к появлению компоненты спина в плоскости квантовой ямы. Микроскопической причиной этого эффекта в структурах с осью роста (110) может быть совместное действие эффектов Рашибы и Дрессельхауза. Действительно (рис. 3), для таких структур эффективное магнитное поле, обусловленное эффектом Дрессельхауза, имеет только  $z$ -компоненту, но зависит от  $k_x$ . Поле Рашибы имеет компоненты  $B_x$  и  $B_y$ , пропорциональные  $k_y$  и  $k_x$  соответственно. На рисунке 3 показано, что одна из собственных осей тензора времён спиновой релаксации будет совпадать с осью  $x$ , две другие будут образовывать углы  $\theta$  с осями  $y$  и  $z$ . Результаты расчётов [12] (см. рис. 3) показывают, что при  $\alpha \sim \beta$  на временах порядка  $\tau_s$  компонента спина  $S_y$  может достигать  $\sim 10\%$  от исходного значения  $S_{0z}$ .

#### 5. Заключение

В статье рассмотрены особенности анизотропии спиновой релаксации для электронов в низкоразмерных полупроводниках. Показано, что анизотропия возникает



**Рис. 2.** Температурная зависимость времени спиновой релаксации электронного газа:  $a$  — ширина квантовой ямы,  $N$  — концентрация электронов,  $T_F$  — температура вырождения электронного газа, ■ — экспериментальные данные [10], сплошная кривая — результат теории [10] при  $\Omega t \ll 1$ . Результат соответствующего расчёта без учёта электрон-электронных столкновений при низких температурах,  $\tau_{ee} \gg \tau_p$ , показан штриховой кривой, □ — экспериментальные результаты [10].



**Рис. 3.** Возникновение спиновой плотности  $S_y$  в асимметричных квантовых ямах вследствие анизотропии спиновой релаксации,  $S_{0z}$  — величина начальной спиновой ориентации вдоль оси  $z$ ,  $t_{sym}$  — время спиновой релаксации в симметричной квантовой яме.

вследствие как естественных причин (наличие оси роста и ограничение свободного движения в этом направлении), так и взаимного действия эффектов Рашбы и Дрессельхайза. Принципиально, что величиной  $\alpha$  можно управлять либо технологическим способом, либо внешним электрическим полем.

Анизотропия времён спиновой релаксации может приводить к тому, что вдоль некоторых направлений в плоскости квантовой ямы спин не релаксирует, что открывает возможность использования эффекта анизотропии для сохранения спина.

Можно показать, что в квантовых ямах, где основными носителями являются дырки, подобные эффекты также имеют место, хотя и существуют важные особенности, обусловленные тем, что полная проекция момента дырок  $\pm 3/2$  или  $\pm 1/2$  всегда ориентирована вдоль оси роста.

Автор благодарит М.М. Глазова, Л.Е. Голуба и С.А. Тарабенко за полезные обсуждения и Н.И. Саблину за помощь в работе.

Работа выполнена при поддержке Программой "Научные и научно-педагогические кадры инновационной России" (контракт 02.740.11.5097) и грантом РФФИ 08-02-00069а.

## Список литературы

1. Дьяконов М И, Перель В И *ЖЭТФ* **60** 1954 (1971) [D'yakonov M I, Perel' V I *Sov. Phys. JETP* **33** 1053 (1971)]
2. Дьяконов М И, Качоровский В Ю *ФТП* **20** 178 (1986) [D'yakonov M I, Kachorovskii V Yu *Sov. Phys. Semicond.* **20** 110 (1986)]
3. Рашба Э И *ФТТ* **2** 1224 (1960) [Rashba E I *Sov. Phys. Solid State* **2** 1109 (1960)]
4. Дьяконов М И, Перель В И *ФТТ* **13** 3581 (1971) [D'yakonov M I, Perel' V I *Sov. Phys. Solid State* **13** 3023 (1972)]
5. Averkiev N S, Golub L E *Phys. Rev. B* **60** 15582 (1999)
6. Averkiev N S et al. *Phys. Rev. B* **74** 033305 (2006)
7. Larionov A V, Golub L E *Phys. Rev. B* **78** 033302 (2008)
8. Averkiev N S, Golub L E, Willander M J. *Phys. Condens. Matter* **14** R271 (2002)
9. Глазов М М, Ивченко Е Л *Письма в ЖЭТФ* **75** 476 (2002) [Glazov M M, Ivchenko E L *JETP Lett.* **75** 403 (2002)]
10. Leyland W J H et al. *Phys. Rev. B* **75** 165309 (2007)
11. Глазов М М, Ивченко Е Л *ЖЭТФ* **126** 1465 (2004) [Glazov M M, Ivchenko E L *JETP* **99** 1279 (2004)]
12. Tarasenko S A *Phys. Rev. B* **80** 165317 (2009)